

УДК 537.533.3

А. Б. ГАЛАТ, Ю. В. ДУБРОВИН, А. Г. ШЕИН,
д-р физ.-мат. наук

АБЕРРАЦИОННЫЕ ХАРАКТЕРИСТИКИ СИСТЕМЫ ОТОБРАЖЕНИЯ ИНФОРМАЦИИ

Системы передачи и отображения информации широко применяются в различных отраслях науки и техники.

Неотъемлемым элементом таких систем является устройство индикации информации на экране, преобразующее электрический сигнал в видимое изображение. В большинстве случаев для этого используют электронно-лучевую трубку (ЭЛТ) с многоступенчатой отклоняющей системой (ОС). Точность и качество отображения информации на экране ЭЛТ во многом зависят от параметров электронно-оптической системы. Одним из источников искажений изображения являются геометрические aberrации многоступенчатой ОС, существенно возрастающие по сравнению с системой однократного отклонения. Возникает необходимость выбрать оптимальную конфигурацию электродов ОС и их взаимного расположения, обеспечивающую минимум искажений.

В статье отражены результаты численных расчетов геометрических aberrаций двухступенчатой двухкалальной ОС, которая применяется в трубках со знаковой индикацией. Исследованы различные варианты конфигураций ОС, выбраны конструкции с минимальными искажениями.

Выражения для геометрических aberrаций такой ОС получены нами ранее [1]. На их основе составлена программа на языке ФОРТРАН-4 для ЭВМ ЕС 1050, выполнены расчеты aberrационных коэффициентов $a_1 \dots a_{25}$ [1] и конкретных видов искажений формы электронного пучка для нескольких конфигураций ОС.

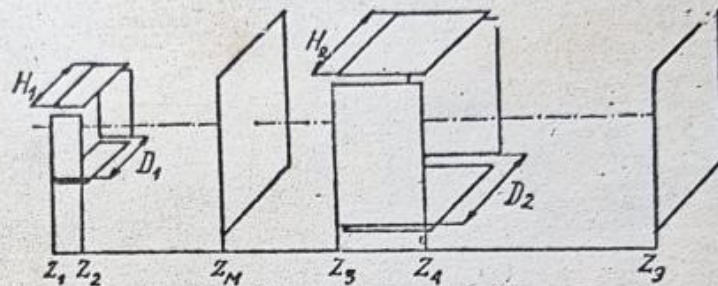


Рис. 1

Исследуемая система состоит из четырех пар плоскопараллельных пластин, совмещенных по две (конфигурация типа «Дефлектрон»), маски и экрана (рис. 1). Расчеты выполнялись для нескольких вариантов конфигураций пластин. Для всех вариантов $z_1 = 1$, $z_2 = 16$, $z_M = 66$, $z_3 = 20$, $z_4 = 120$. Остальные параметры приведены в таблице.

Вариант	Размеры, мм				
	z_1	H_1	D_1	H_2	D_2
1	120 . . . 136	10,2	11,5	30,7	35,8
2	125	8	9	18 . . . 31	21 . . . 36
3	125	8,6	9,7	18 . . . 31	21 . . . 36
4	125	9,2	10,4	18 . . . 31	21 . . . 36
5	125	9,8	11	18 . . . 31	21 . . . 36
6	125	10,4	11,7	18 . . . 31	21 . . . 36

Выбор вариантов конфигурации диктовался следующими соображениями. Первая и вторая пары пластин расположены в начале системы, третья и четвертая — вблизи середины системы, чтобы обеспечить минимальный угол отклонения и, следовательно, минимальные aberrации. Совмещение пластин первой и второй, третьей и четвертой пар связано с необходимостью уменьшить продольные размеры системы и сделать искажения одинаковыми по обоим каналам, что значительно улучшит условия минимизации искажений. Длина пластин третьей и четвертой пар выбиралась максимальной для уменьшения отклоня-

ющего напряжения. Чтобы обеспечить зазор между пластинами, параметры D_i и H_i должны быть связаны зависимостью $\frac{D_i}{H_i} = 1,1 \dots 1,2$ (рис. 1). Искажения пучка в системе формирования и фокусировки при этом не учитывались. Угол схождения пучка на экране $2\omega = 10^{-5}$. Пучок отклоняется в двух направлениях,

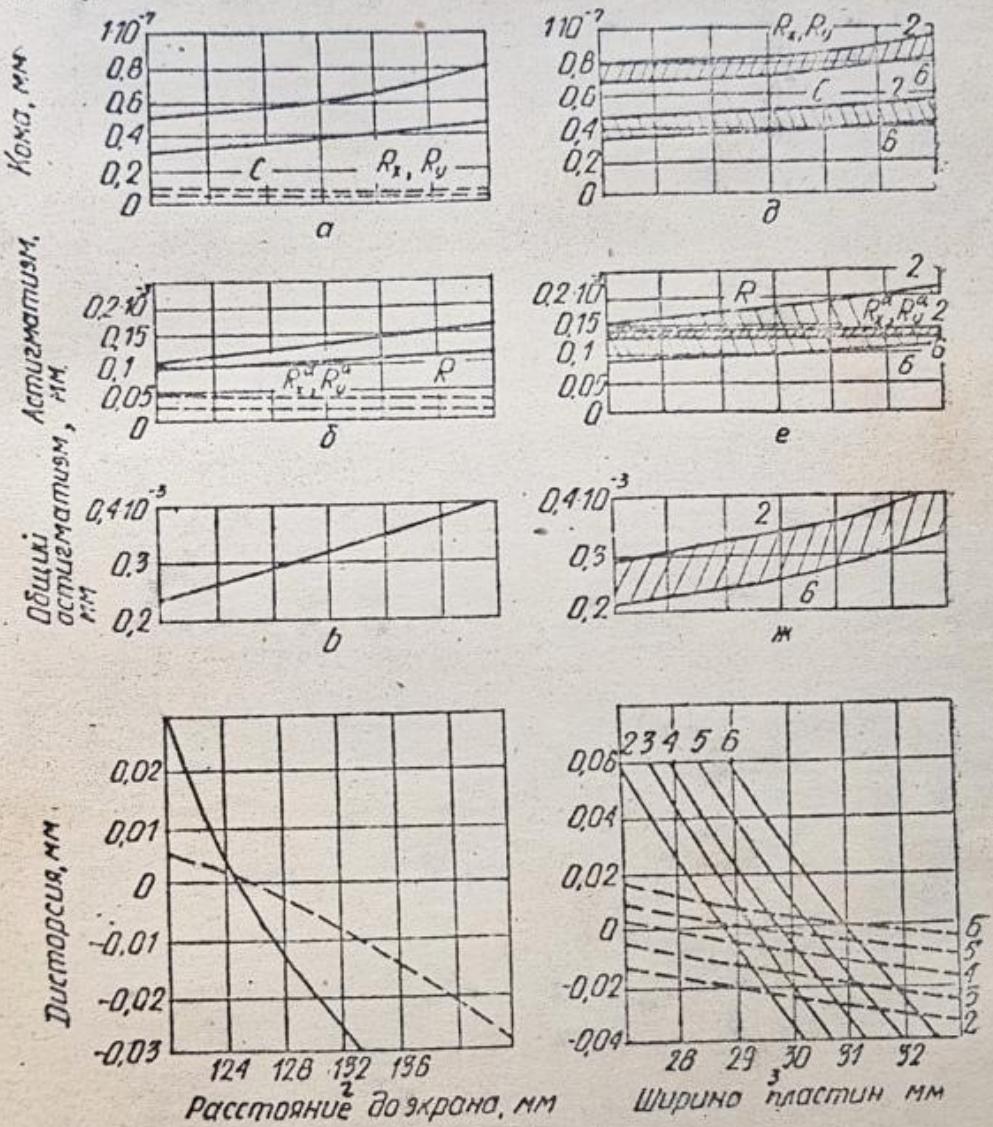


Рис. 2

попадая на маске в точку $(-5; -5)$, а на экране — в точку $(-2,5; -2,5)$.

Расчет выполнялся для следующих видов искажений: дисторсия по оси x и y (одинакова по обоим каналам); параметры комы (C , R_x , R_y), астигматизма (R_x^x, R_y^y), анизотропного астигматизма (R). Дисторсия не зависит от диаметра и угла схождения пучка, поэтому эти расчеты можно использовать и для иных параметров пучка. Коэффициенты астигматизма пропорциональны ω , а

коэффициенты комы — ω^2 , что позволяет легко пересчитать их при других значениях ω .

Результаты расчетов влияния положения экрана z_3 на aberrации для варианта I конфигурации приведены на рис. 2, а — г (— искажения на экране, --- искажения на маске). Для дисторсии характерна монотонная зависимость, причем она может обращаться в 0 и на экране и на маске (рис. 2, г). Следовательно, возможен выбор оптимального диапазона размеров $-z_3$. Другие типы искажений характеризуются плавным возрастанием на экране и убыванием на маске с ростом z_3 . Анализируя графики искажений, приходим к выводу, что для данной конфигурации оптимальным является положение экрана $z_3 = -125 \dots -126$ мм.

Существенным оказалось влияние расстояния между пластинами (в особенности между третьей и четвертой парами) и их ширины на размеры искажений пучка. Результаты расчетов для вариантов 2 ... 6 конфигурации даны на рис. 2, д ... з. При увеличении расстояния между пластинами третьей и четвертой пар дисторсия резко уменьшается и может обращаться в 0. Зависимость искажений от расстояния между пластинами первой и второй пар обратная. Это позволяет регулировать дисторсию и на экране, и на маске одновременно, обеспечивая ее минимизацию.

Необходимо учитывать, что расчеты выполнялись для одной траектории, полученной при отклонении электронного луча в двух направлениях. Это дает приближенное решение задачи оптимизации. При минимизации дисторсии по всей поверхности экрана или маски следует в общем случае рассматривать ряд опорных траекторий, решая для них многопараметрическую задачу оптимизации.

Другие виды искажений изменяются незначительно в достаточно широком диапазоне регулировки расстояния между пластинами.

В случае оптимизации системы по уровню астигматизма и комы удобно использовать обобщенный коэффициент искажения формы сечения пучка. Известно [1], что искажения параксиальной траектории можно представить в виде

$$\Delta x = a_{14} - a_{16}\omega \sin \theta - a_{4\omega} \cos \theta + a_8\omega^2 \sin 2\theta + \\ + a_{20}\omega^2 \sin^2 \theta + a_{25}\omega^2 \cos^2 \theta; \quad (I)$$

$$\Delta y = a_1 + a_{16}\omega \cos \theta - a_5\omega \sin \theta + a_{20}\omega^2 \sin 2\theta + \\ + a_8\omega^2 \cos^2 \theta + a_{13}\omega^2 \sin^2 \theta.$$

Максимальное радиальное увеличение радиуса пучка не превышает отклонения частицы от идеальной траектории $R_x = \sqrt{\Delta x^2 + \Delta y^2}$. Учитывая, что искажения формы пучка опреде-

ляются относительно его центра, полагаем $a_1 = a_{14} = 0$. После подстановки (1) в выражение для R_Σ получаем

$$R_\Sigma^2 = [a_{16}^2 + a_4^2 \cos^2 \theta + a_5^2 \sin^2 \theta + 2(a_4 + a_5)a_{16} \cos \theta \sin \theta] \omega^2 + \dots, \quad (2)$$

где члены, обозначенные троеточием, зависят от ω^3 и ω^4 , и в нашем случае на 3—4 порядка меньше первого члена. Итак, обобщенный коэффициент расширения пучка в данном случае определяется общим астигматизмом

$$R_\Sigma = \omega \sqrt{a_{16}^2 + \frac{a_4^2 + a_5^2}{2} + \frac{a_4 + a_5}{2} \sqrt{(a_4 + a_5)^2 + 4a_{16}^2}} \times \\ \times \sin \left(2\theta + \operatorname{arctg} \frac{a_4 + a_5}{2a_{16}} \right).$$

Аналогичное выражение для электронных линз приведено у Ячменева С. Н. [2].

Результаты расчетов R_Σ в зависимости от z , (для варианта 1 конфигурации) и расстояния между пластинами (для вариантов 2 ... 6) даны на рис. 2, б, е. Зависимости сходны с кривыми для астигматизма.

Таким образом, указанные данные позволяют выбирать оптимальную конфигурацию отклоняющих пластин, их расположение, а также использовать разработанную программу расчета для оптимизации системы по другим параметрам.

Список литературы: 1. *Искажения при отклонении электронных пучков* / А. Б. Галат, А. К. Гнап, Ю. В. Дубровин, А. Г. Шеин.— АСУ и приборы гвтоматики, 1984 г., вып. 69, с. 112—120. 2. Ячменев С. Н. Оптимальные электронно-проекционные системы с уменьшенными до субмикронных размеров элементами изображения маски. Ч. I. Ошибки оптического изображения.— Электронная техника. Сер. 1. Электроника СВЧ, 1979, вып. 6, с. 52—62

Поступила в редакцию 07.12.84.